IFFE KARS

HER TAKE

レンチキュラー方式3Dディスプレイ **モアレの観点から立体視領域を** 計算する

元日本工業大学 元凸版印刷株式会社 山田 千彦

はじめに

過去

Habita Sala

1903 Parallax Stereogram メガネなしで立体視 1918 Parallax Panoramagram 1960 国内最初のレンチキュラー方式立体印刷製品



現代

アナログ から デジタル 時代 技術進歩 商品化 → 個人向け → 市場拡大 メガネなしで立体視出来る製品 → 市場の認識、拡大に貢献



基礎技術に課題が残って いる → 検証する

未来

立体TV放送の開始

メガネなしで立体視出来る

立体視領域の基本

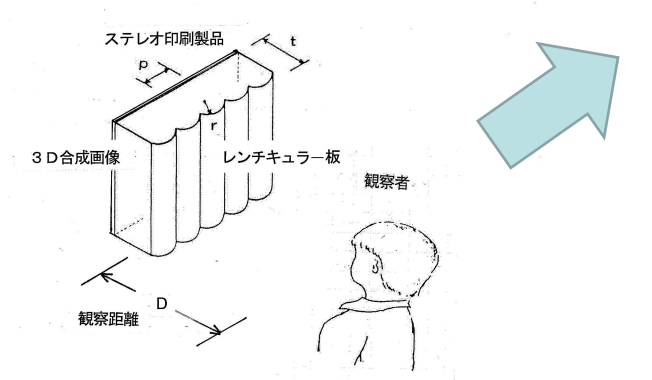
立体視できる場所、立体視できない場所 が存在している 立体視できる領域は六角柱の中にある

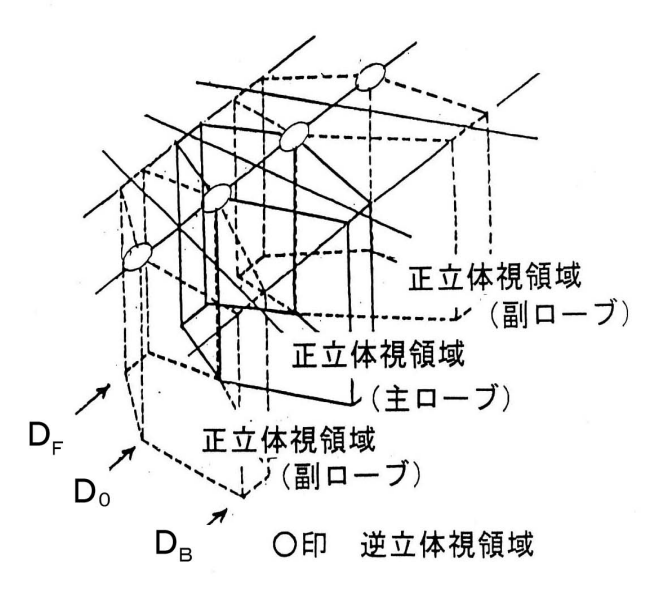


立体視の基本

HEN TO SEE

IFFER AND SALES





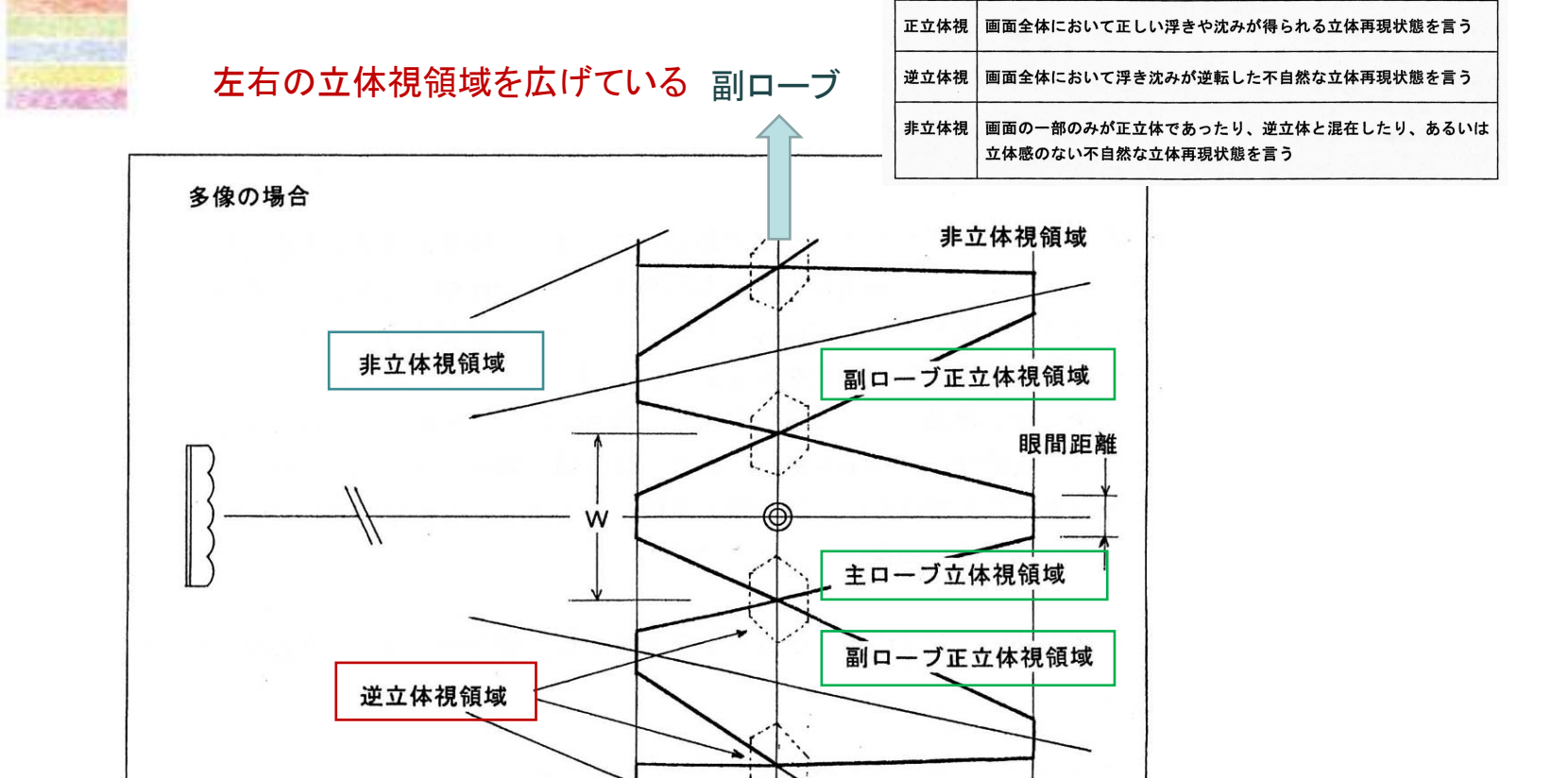
何処から観ても立体視できる、と思われているが

立体視領域の三態

HE TO TAKE

◎最適視距離

BUT TO SE

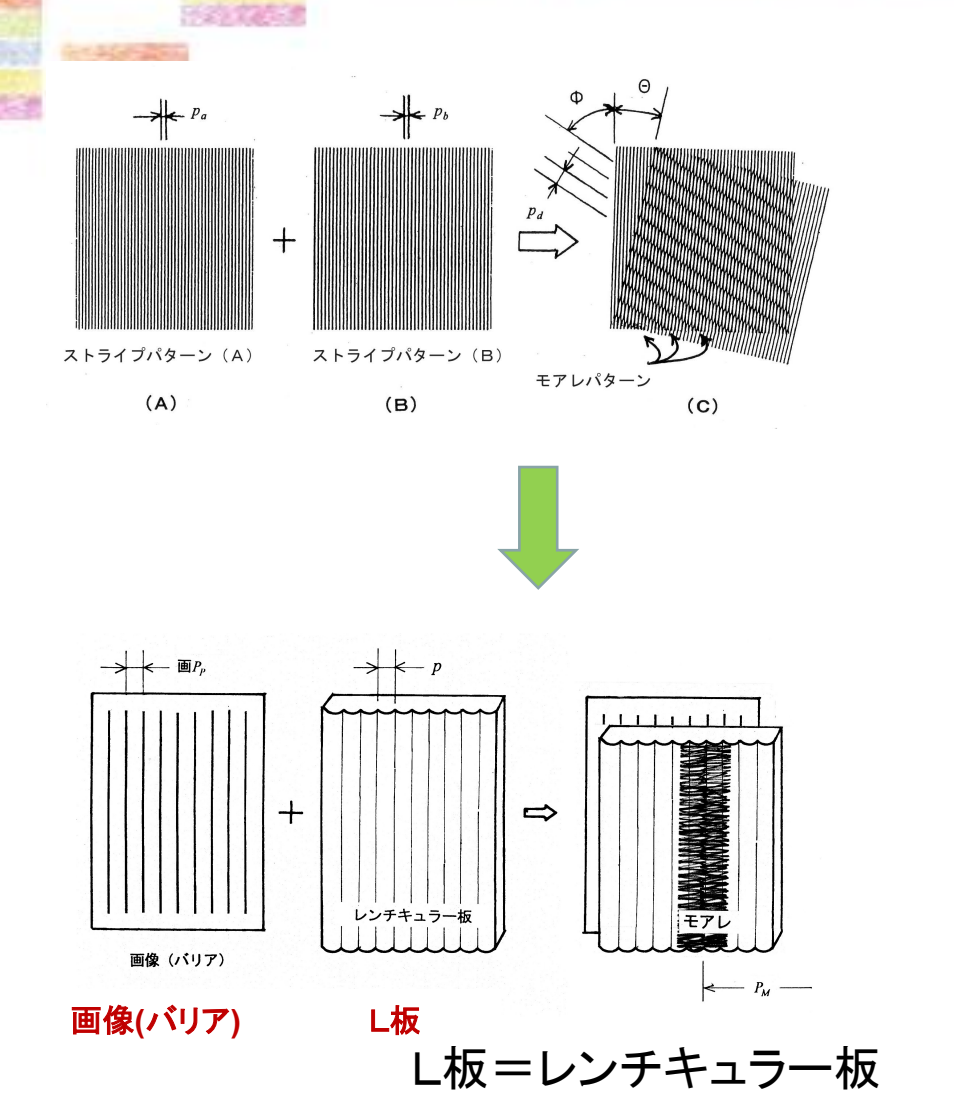


DF

副ローブ 左右の立体視領域を広げている

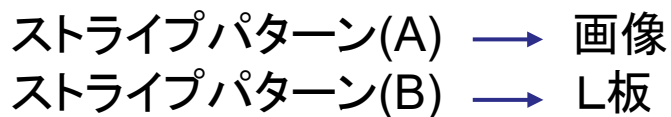
DB

モアレ理論



ー定間隔で規則的に並ぶストライプパターンを2枚重ねると、モアレパターンが発生する。





重要なこと

L板が画像面より(t-r)mm離れて上部に位置している。

それ故

観察者はL板を通して、L板の ピッチ(p)が画像面に投影され て(LPp)となり、画像のピッチ(画 Pp)と同一となって立体視できる。

モアレ理論のレンチキュラー方式への展開

基本式

$$p_d = \frac{p_a p_b}{\sqrt{p_a^2 + p_b^2 - 2p_a p_b \cos \Theta}}$$
 (1)

$$\tan \Phi = \frac{p_b \sin \Theta}{p_b \cos \Theta - p_a} \tag{2}$$

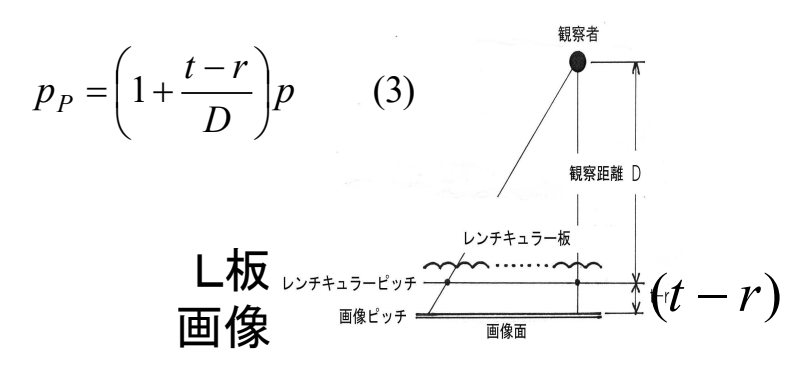
L板使用に伴う置き換え

$$p_d$$
 = モアレの大きさ(ピッチ)
 $= p_M$
 p_a = L 板の画像面に投影されたピッチ
 $= Lp_P$
 p_b = 画像のピッチ
 $= mp_P$

最適な距離から観た立体視の条件

$$L p_P = \overline{\blacksquare} p_P \\
\Theta = 0$$

L板の画像面に投影されたピッチ



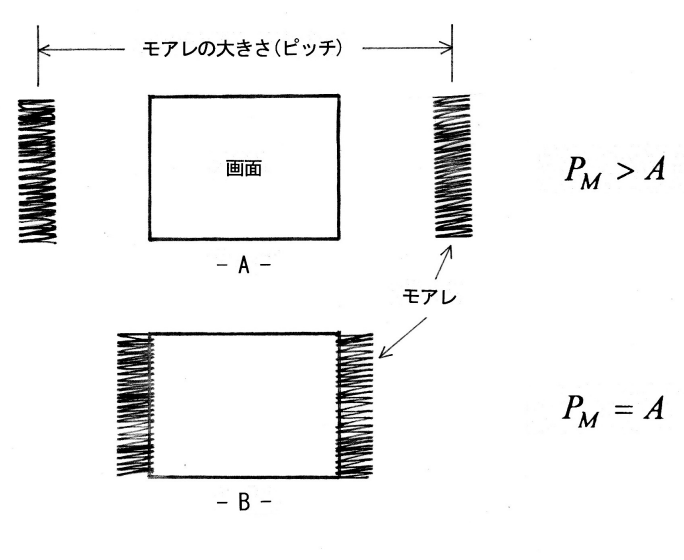
式(1)、(2)を次の様に 書き直すことができる

$$p_{M} = \frac{1}{\left| \frac{1}{\mathsf{L}p_{P}} - \frac{1}{\boxed{\mathbf{m}}p_{P}} \right|} \tag{4}$$

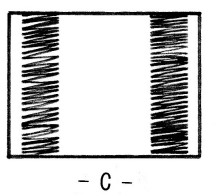
$$\Theta = 0$$

モアレの大きさと立体視領域

観察位置を最適な距離 観察位置を後方に移動 観察位置を前方に移動 Lpp=画ppPM=無限大Lpp<画pp</td>PM=有限な大きさLpp>画ppPM=有限な大きさ



画像全面で立体視できる
PM>画像の幅(A)
画像全面で立体視できない
PM<A
画面全面で立体視できる限界
PM=A



 $P_M < A$

立体視できる最近距離=DF 立体視できる最遠距離=DB

 $P_M =$ モアレの大きさ(ピッチ) A =画面の横幅

立体視領域の具体的計算(1/2)

製品例

広告用大型ステレオ印刷 B全版 (A:2,000 × B:600 mm) 合成画像数 N=28 観察距離 D₀=2,500 mm

L(レンチキュラー)形状

所的加热

r=1.0 mm p=1.2673 (実測値) t=2.70

画像のピッチ

画pp=1.2682 mm

計算例 I-1

いろいろな距離におけるLp_pを 式(3)から求め、

$$\mathbf{L}p_P = \left(1 + \frac{t - r}{D}\right)p$$

式(4)からPMを計算する。

$$p_M = \frac{1}{\left| \frac{1}{\mathsf{L}p_P} - \frac{1}{\mathbf{\boxplus}p_P} \right|}$$

次に、計算結果をグラフ化する。 そして、式(8)から

$$p_M = A = 2,000$$

となるDF、DBをグラフ上から求める。

立体視の具体的計算(2/2)

計算例 I -2

式(9)を用いて、

$$\mathsf{L}p_P = rac{1}{rac{1}{P_M} \pm rac{1}{oxtless{im}p_P}}$$
この式に

$$p_M = A = 2,000$$

を代入して、2つのLppを求める そして、式(10)から

$$D = \frac{p}{\mathsf{L}\,p_P - p}(t - r)$$

DF、DBを計算する

計算例Ⅱ

Q画=幅(A)mmの画像の中に存在す る画像のレンチュラー本数

QL=観察者がある距離から画像を 観ているとき、幅(A)mmの画像 の中に存在するレンチキュラー 本数

と定義したとき、

$$\mathbf{Q}_{\underline{\mathbf{m}}} = \frac{A}{\underline{\mathbf{m}}p_{P}}$$

$$\mathbf{Q}_{L} = \frac{A}{L p_{P}}$$

$$\mathbf{Q}_{\mathbf{B}} - \mathbf{Q}_{L} = \pm 1$$

となる2つのLppを計算し、式(10)から

$$D = \frac{p}{\mathsf{L}\,p_P - p}(t - r)$$

DF、DBを計算する。

計算結果(I-1)

モアレの大きさ(ピッチ)

	.
D	Рм
250	209
500	468
1,000	1,245
1,500	2,801
2,000	7,466
2,500	100,000
5,000	3,731
10,000	2,487
20,000	2,132
40,000	1,989
The same and the s	11 A 2 1 1 1 1 1 1 1 1 1 1 1 1 1 1 1 1 1

80,000

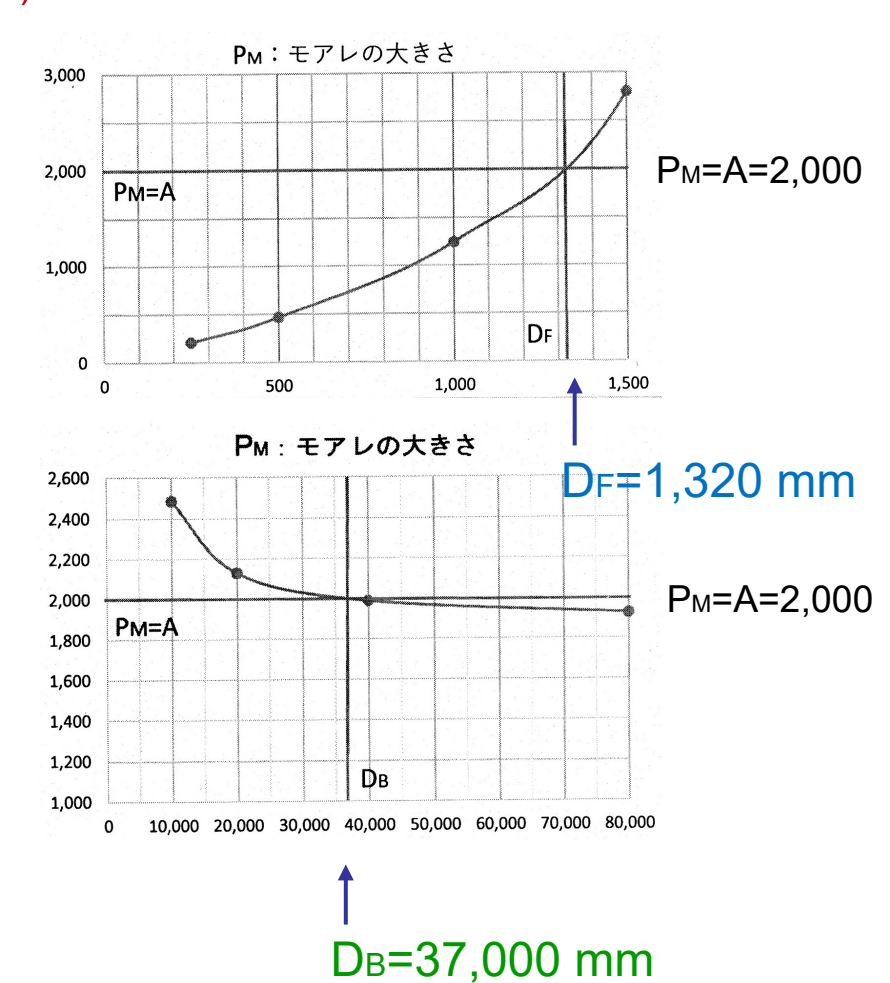
1,925

HER TAKE

IFFERENCES.

最適距離

 $D_0 =$



計算結果(I-2)、(Ⅱ)

HER TAKE

式(9)より
$$\Box_{P_P} = \frac{1}{\frac{1}{P_M}} \pm \frac{1}{\boxed{\text{im}}_{P_P}}$$
 $\Box_{P_R} = \frac{1}{\boxed{\text{im}}_{P_R}} \pm \frac{1}{\boxed{\text{im}}_{P_P}}$ $\Box_{P_R} = \frac{A}{\boxed{\text{im}}_{P_R}}$ $\Box_{P_R} = \frac{A}{\boxed{\text{im}}_{P_R}}$ $\Box_{P_R} = \frac{A}{\boxed{\text{im}}_{P_R}}$ $\Box_{P_R} = 1.2682$ $\Box_{P_R} = 1.2682$ $\Box_{P_R} = 1.269005$ $\Box_{P_R} = 1.269005$ $\Box_{P_R} = 1.269005$ $\Box_{P_R} = \frac{A}{\boxed{\text{im}}_{P_R}}$ $\Box_{P_R} = \frac{A}{\boxed{\text{im}}_{P_R}}$ $\Box_{P_R} = 1.2690$ $\Box_{P_R} =$

まとめ

計算結果

I -1

HER TO SEE

D_F=1,320 D_B=37,000

I -2

D_F=1,264 D_B=22,362

Ι

D_F=1,264 D_B=21,544

まとめ

計算方法は違っても、

最近距離:DF

最遠距離: DB

の両方において、ほぼ近い値になる。

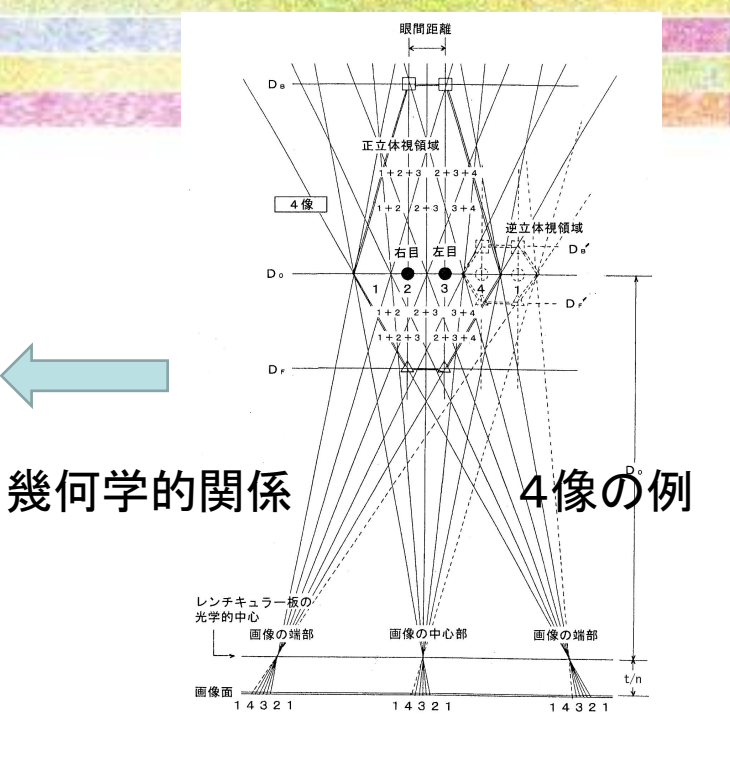
しかし、最遠距離においては、距離が遠くなると、計算途中で取り扱う桁数によって、計算結果にバラツキが出て くる。

立体視しているとき、 最近距離は重要な意味を持つが、 最遠距離は適当で良さそうである。

付録

			N像式	連続多像式
正立体視	前後方向	D_F	$D_F = \frac{A+K}{A+NK}D_0$	$D_F = \frac{\left(A + K\right)}{2\left(x + \Delta x_F\right)} \left(\frac{t}{n}\right)$
				$x = \frac{A}{2D_0} \left(\frac{t}{n} \right)$
				$\Delta x_F = \frac{1}{2} \left(1 + \frac{\left(\frac{t}{n}\right)}{D_0} \right) p$
		D_0	D_0	
		D_B	$D_B = \frac{A+K}{A-(N-2)K}D_0$	$D_B = \frac{\left(A - K\right)}{2\left(x - \Delta x_B\right)} \left(\frac{t}{n}\right)$
				$x = \frac{A}{2D_0} \left(\frac{t}{n} \right)$
				$\Delta x_B = \frac{1}{2} \left(1 + \frac{\left(\frac{t}{n}\right)}{D_0} \right) p$
	左右方向	W	W = NK	$W = \frac{p}{\left(\frac{t}{n}\right)} D_0$
逆立体視	前後方向	D_F '	$D_F' = \frac{A + (N+1)K}{A + (N+2)K} D_0$	
		D_0	D_0	
		D_B '	$D_B' = \frac{A + (N+1)K}{A + NK} D_0$	y
	左右方向	W'	W' = 2K	

P:レンチキュラーのピッチ[mm] $D_F:$ 立体視できる最近距離[mm] N: 画像数 $D_0:$ 立体視できる最適距離[mm] A: 画像の横幅寸法[mm] $D_B:$ 立体視できる最遠距離[mm] K:眼間距離[mm] $D_F', D_B', W':$ 逆立体視領域



D₀=2,500 mm A=2,000 mm K=65 mm N=28 の場合、

> D_F=1,351 mm D_B=16,653 mm

レンチキュラー方式3Dディスプレイ モアレの観点から立体視領域を計算する

HER TAKE

FFF X A SA

ご清聴、ありがとうございました

元日本工業大学 元凸版印刷株式会社 山田 千彦

レンチキュラー方式3Dディスプレイ

モアレの観点から立体視領域を計算する

Calculations of Positions Possible Stereoscopic Viewing in Terms of MOIRE in Autostereoscopic Display

山田 千彦

Chihiko Yamada

元日本工業大学、元凸版印刷(株)

〒120-0014 東京都足立区西綾瀬 4-13-17

E-mail: c-yamada@jcom.zaq.ne.jp

2005 年から立体映画が最盛期を迎えるようになり、2010 年は家庭用立体テレビ元年と言われている。何れも専用のメガネをかけて立体視する方法である。その様な中、メガネなしで立体視できる方法にレンチキュラー方式3 Dディスプレイがある。レンチキュラー方式で最も歴史があって普及しているのが通称「ステレオ印刷」である。ステレオ印刷はいろいろな企業で製品化されているが、今でも経験による作業が含まれている。本稿ではステレオ印刷を立体視する時の立体視できる領域(前後)をモアレの観点から計算する。

1. はじめに

日本国内においては、1960年頃から印刷企業を中心にメガネなしで立体視できる「レンチキュラー方式印刷タイプ3Dディスプレイ(通称:ステレオ印刷)」が市場に流れる様になり、珍しさが伴って多くの数の商品化が進められた。しかしその多くは宣伝用であり、個人向けの商品は少なかった。当時ステレオ印刷を手にすると誰でもが驚き、興味を示していたが、お金を出して購入する人はほとんどいなかった。

一方、いろいろな博覧会、等では立体映画 に皆が集まり、大盛況であったのを覚えてい る。しかし、お金を出して観る、劇場で上映 されている立体映画は常に低迷していた。

1990 年代に入り、立体映画、あるいは臨場感通信、等に多くの論文が出る様になり、メガネなしで立体視できる産業用3Dディスプレイが市場に出る様になってきた。当初はレンチキュラー、あるいはバリアを用いた2像式であったが、その後ディスプレイの画素が

増えるに伴って多像式に移行している。

今地上デジタル放送が実用に入り、次は立体TV放送の実用化と言われている。当然メガネなしで立体視できる方式になるであろうと言われている。

ステレオ印刷はすでに五十年以上の経験ある製品となっている。市場にあるステレオ印刷製品は、多像式であり、何処から観ても立体視できる印象を持っている。通常の製品では、手に持つか、壁に固定して立体視する程度である。それゆえ、何処で立体視できるのか、「立体視領域」について議論したことはほとんどないと思われる。

本稿では、「立体視領域」について、「モアレ」の観点から詳述する。

2. 立体視領域の定義

ステレオ印刷製品を観て立体視している図を図01に示す。レンチキュラー板(略:L板)は円筒形レンズを多数並べて造られている。 レンチキュラー板はその形状から、

曲率半径:r

幅 (ピッチ): p

厚さ: t

となっており、厚さ: t は通常焦点距離: f と一致している。また、レンチキュラー板は 無色透明な熱可塑性樹脂、等で造られている 事が多い。

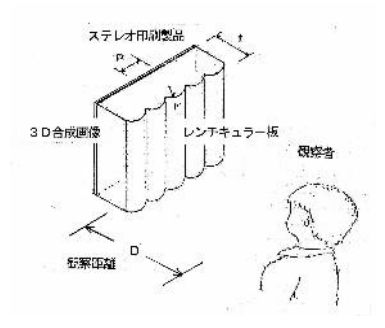


図 01 ステレオ印刷製品と立体視

ステレオ印刷、例えば、立体絵はがきを観ると、どこから見ても立体視できるように思われる。しかし、幾何学的に計算してみると、ある限定された立体視領域が存在することが分かる。図 02 に立体視領域の概念を示す

ある観察距離: D_0 に設計、製作された製品(装置)は、その位置を最適距離として前後左右に立体視出来る領域を持っている。この形を平面図で表すと「六角形」となる。また、上下方向を加えると「六角柱」となる。

この六角柱の中に入れる人の数は2像式では1人に限定されるが、像数が増えるに従って人数が増えていく。

更に、横方向に展開すると、この六角柱の 形をした立体視領域が左右に多く並び、立体 視できる観察者の数を多くしている。このと き、中心にある立体視領域を「主ローブ」と 呼び、その両側に数多く存在する立体視領域 を「副ローブ」と呼ぶ。

つぎに、立体視領域を平面に展開すると、 ステレオ印刷に対して観察者がどの場所から 観ているかによって「正立体視」、「逆立体視」、 「非立体視」の3態に区分する事が出来る。

正面で所定の観察距離からステレオ印刷を 観ると、右目で右目用の画像、左目で左目用 の画像を見て、正しい立体感を得ている。 同様に、観察位置を少し横にずらして見る と、右目で左目用の画像を、左目で右目用の 画像を見てしまう。これが逆の立体感であり、 不自然に見える。

更に違った位置に目を置いてみると、右目と左目の両方で左目用の画像を見てしまう場所がある。これでは立体感は得られない。

これらの様に、観察者がどこから見るかに よって立体感の再現性が違ってくる。これら 3 態を表 01 に示す。

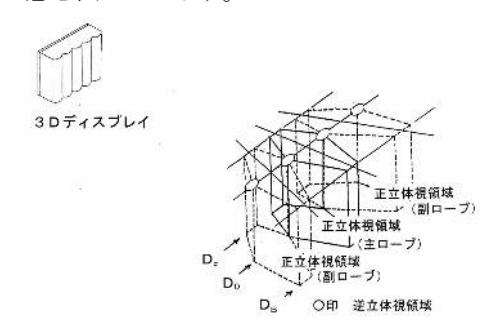


図 02 立体視領域の概念図表 01 立体視領域の三態

正立体视	面面全体において正しい浮きや沈みが得られる立体再現状態を言う
逆立体视	面面全体において厚き沈みが逆転した不自然な立体再現状態を言う
非立体视	国面の一部のみが正立体であったり、逆立体と混在したり、あるいは 立体器のない不自然な立体再項状態を言う

多像式における立体視領域の平面図を図 03に示す。ここでは、2像式ステレオ印刷製 品は市場にないことから、2像式については 省略する。

多像式における正立体視領域は、画像数が増えれば増える程にその面積は広がっていく。 それに合わせて逆立体視領域は相対的に小さくなり、殆ど逆立体視領域を見つけることが出来なくなる。

3. モアレ理論をステレオ印刷に展開

一定間隔で規則的に並ぶストライプパターンを2枚重ねると、図 04 に示すモアレパターンが発生する。

図 04(A)はピッチ: p_a のストライプパターン(A)であり、図 04(B)はピッチ: p_b のストライプパターン(B)である。そして、この2

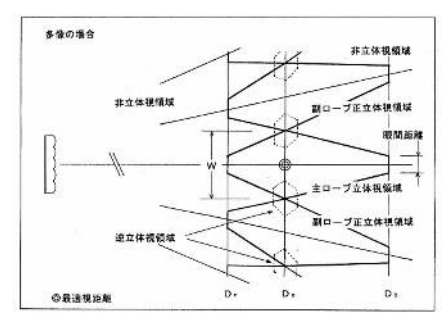


図 03 多像式ステレオ印刷における立体視領域

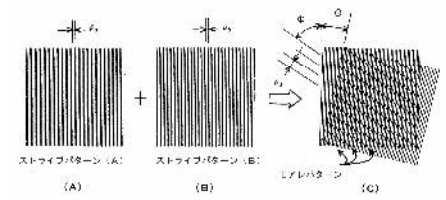


図04 モアレ発生の原理

枚のストライプパターン間に角度: Θ を設けて重ねると、図 04(C)に示すモアレパターンが発生する。このモアレパターンの大きさ(ピッチ)を p_d 、モアレパターンの角度を Φ とすると、次式で表すことができる。

$$p_{d} = \frac{p_{a}p_{b}}{\sqrt{p_{a}^{2} + p_{b}^{2} - 2p_{a}p_{b}\cos\Theta}}$$

$$\tan\Phi = \frac{p_{b}\sin\Theta}{p_{b}\cos\Theta - p_{a}}$$
(1), (2)

ここで、 $p_a = p_b$ の時、式(1)からモアレの大きさ(ピッチ: p_d)が無限大となり、モアレは観えなくなる。

モアレ理論をステレオ印刷に展開した場合、 図 04 において、

- ・ストライプパターン(A)を画像(バリア を含む)に
- ・ストライプパターン(B)をL板に 置き換えることになる。ステレオ印刷の製品 の図を図 05 に示す。

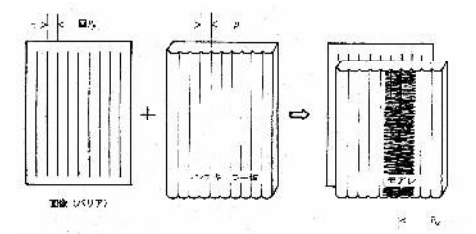


図05 ステレオ印刷製品によるモアレ しかし、単純に置き換えることは出来ない。 L板が画像面より(t-r)mm離れて上部に位

置しているからである。図 04 で示すと、ストライプパターン(A)の上面に(t-r)mm の空気層を設けてストラプパターン(B)が位置していることとなる。

幾何学的には、観察者がL板を通して立体視してる時は、L板のピッチ:pが画像面に投影されて Lp_P となる。この時の幾何学的関係を図06に示す。

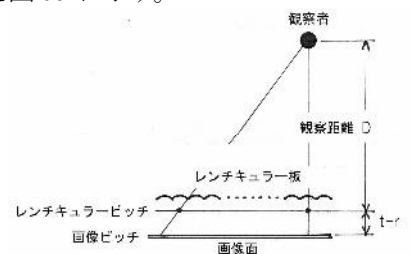


図 06 L 板のピッチと画像のピッチとの 幾何学的関係

L板の投影されたピッチが画像のピッチと同じ値になった時、立体視できると共に両者によるモアレは無限大となり、モアレは観えなくなる。

図 06 における幾何学的関係は、観察者から ステレオ印刷製品までの距離を D とすると、 次式で表すことができる。

$$p_P = \left(1 + \frac{t - r}{D}\right) p \tag{3}$$

ここで、図 01 にある様に、t はレンチキュラー板の厚さ、r は曲率半径である。

図04中の t/n は、幾何光学で使われているが、 製品上はt-r を用いた方が現実的である。

以下、計算を進める上で、次の様に定義する。

画
$$p_P$$
 = 製品の画像ピッチ
L p_P = L板の画像上に
投影されたピッチ

モアレの大きさ(ピッチ)を P_M とすると、式(1)、式(2)は次式となる。

この時、一次モアレのみ扱うとする。

$$\Theta = 0$$

$$P_{M} = \frac{1}{\left|\frac{1}{\text{L}p_{P}} - \frac{1}{\boxed{\blacksquare}p_{P}}\right|} \tag{4}$$

4. モアレの大きさと立体視領域

観察者が最適な距離: D_0 から立体視している場合は、

$$Lp_P = \overline{\boxplus}p_P \tag{5}$$

となり、この時のモアレの大きさは無限大となる。

観察者が最適な距離: D_0 より前後に移動して立体視した場合、式(4)よりモアレの大きさ: P_M が有限な大きさに変化していく。その中で

$$P_M > A$$
 (6)

においては、画像の中にモアレが観えず、立 体視領域となる。しかし、

$$P_M \le A \tag{7}$$

となると、画像の中にモアレが入ってしまい、 立体視領域以外となる。

立体視領域に含まれるか、否かの境界は、

$$P_M = A \tag{8}$$

となる距離である。ここで、A はステレオ印 刷製品の横幅である。

そこで、式(8)を満足する観察距離を、

立体視できる最遠距離: D_R

立体視できる最近距離: D_F

と設定し、以下に計算を進めていく。

5. 立体視領域の具体的計算

ステレオ印刷の1例をたたき台として、具体的な計算を進める。

製品例

広告用大型ステレオ印刷 サイズ: B倍判(横×縦)

 $(A)2,000\times(B)800$

合成画像数: N=28

観察距離: $D_0 = 2,500$ mm

レンチキュラー形状

$$r = 1.0$$

p=1.2673(実測値)

t = 2.70

MS樹脂 (n=1.53)

モアレの観点から具体的な計算に入るが、 モアレの扱い方により、下記の2方式に区別 して進める。

計算例 I-1

いろいろな観察距離における $\mathsf{L}p_P$ を式(3) から計算し、式(4)に代入して P_M を計算する。 そして、計算結果をグラフ化し、式(8) を満足する最遠距離: D_B 、及び最近距離: D_F を求めることができる。

計算例 I-2

式(8)を書き直すと、

$$Lp_P = \frac{1}{\frac{1}{P_M} \pm \frac{1}{||\vec{p}||_P}}$$
 (9)

となる。また、式(3)を書き直すと、

$$D = \frac{p}{L p_P - p} (t - r) \tag{10}$$

となる。式(9)で得られた2つの値を式(10)に代入して、最遠距離: D_B 、及び最近距離: D_F を求めることができる。

計算例Ⅱ

ここで述べる計算方法は、本稿で今まで述べてきたモアレとは全く別の観点から、計算 を進めていく。

最遠距離: D_B 、及び最近距離: D_F では、 画像の両端、または両端のすぐ外側にモアレ が観える状況(式(8)) である。この状況を別の 観点から述べると、次の様に言える。

> Q画=幅(A)mm の画像の中に存在する 画像のレンチキュラー本数

QL=観察者がある距離から画像を観て いるときの、幅(A)mmの画像の中 に存在するレンチキュラー本数

と定義し、式で表すと、

$$Q_{\underline{\parallel}} = \frac{A}{\underline{\parallel} p_P} \tag{11}$$

$$Q_{L} = \frac{A}{L p_{B}}$$
 (12)

となり、

式(8)を別の表現で表すと、

$$Q_{\parallel} - Q_{\perp} = \pm 1 \tag{13}$$

となる。

式(11)、式(12)、式(13)、を満足し、さらに式(3)から2つの距離が得られる。その時、一

つが最近距離: D_F であり、他が最遠距離: D_B である。

6. 計算結果

計算例 I-1

計算結果を表02に、グラフを図07に示す。

表 02 計算結果

D	РМ
250	209
500	468
1,000	1,245
1,500	2,801
2,000	7,466
2,500	100,000
5,000	3,731
10,000	2,487
20,000	2,132
40,000	1,989
80,000	1,925

表 02 の中で D=2,500mm が最適な観察距離であり、この時の $P_M=100,000$ mm は無限大を意味している。

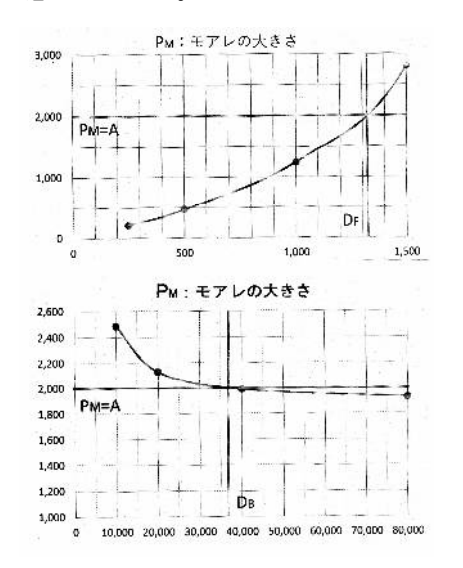


図 07 表 02 のグラフ

図 07 は上下 2 つのグラフからなり、上下のグラフ共、縦軸に画像サイズ(横: A)を置くと、上のグラフの横軸には最近距離: D_F を、下のグラフの横軸からは最遠距離: D_B を求める事ができる。

このグラフからは、およそ

$$D_F = 約1,320$$

$$D_{R} =$$
\$\pm 37,000

を得ることができる。

計算例 I-2

式(4)、及び式(3)を書き直すと、

$$Lp_P = \frac{1}{\frac{1}{A} \pm \frac{1}{\boxtimes p_P}} \tag{14}$$

$$D = \frac{p}{L p_P - p} (t - r) \tag{15}$$

これらの式に、

$$P_M = A = 2,000$$

$$p = 1.2673$$

画
$$p_P = \left(1 + \frac{t - r}{D_0}\right) p$$

$$= \left(1 + \frac{1.7}{2,500}\right) \times 1.2673$$

=1.2682

を、代入し、式(14)において(一)で計算すると、 式(14)から、

$$Lp_P = \frac{1}{\frac{1}{2,000} - \frac{1}{1.2682}}$$
$$= 1.269005$$

式(15)から、

$$D_F = \frac{1.2673}{1.269005 - 1.2673} \times 1.7$$
$$= 1,264$$

同様に、式(14)において(+)で計算すると、

$$Lp_P = 1.267396$$

$$D_B = 22,362$$

を得ることができる。

計算例Ⅱ

画
$$p_P = 1.2682$$

式(11)から、

$$Q_{\boxplus} = \frac{A}{\boxplus p_P} = \frac{2,000}{1.2682}$$
$$= 1.577.0383$$

-1本となるL*p_P*は式(12)から、 式(15)から、

$$D_F = \frac{p}{L p_P - p} (t - r)$$

$$= \frac{1.2673}{1.2690 - 1.2673} \times 1.70$$

$$= 1,264$$

同様に、+1本では、

$$Lp_P = \frac{2,000}{1,578.0383}$$
$$= 1.2674$$

$$D_B = \frac{1.2673}{1.2674 - 1.2673} \times 1.70$$
$$= 21,544$$

となる。

7. まとめ

前章で得られた計算結果をまとめると、 計算例 I-1 では、

$$D_F = 1,320$$

$$D_B = 37,000$$

計算例 I -2 では、

$$D_F = 1,264$$

$$D_R = 22,362$$

計算例Ⅱでは、

$$D_F = 1,264$$

$$D_R = 21,544$$

となる。

計算を進めているときに気づいたことは、 計算方法が違っても、最近距離、および最遠 距離の両方でほぼ近い値になる。しかし、最 遠距離において、距離が遠くなると計算途中 で扱う桁数によってバラツキが出ていること である。

しかし、現実的にはステレオ印刷を観ていて、最近距離は重要な意味を持つが、最遠距離は適当で良さそうである。

8. おわりに

ステレオ印刷にとって、どこでも立体視できるという利点を持っている。しかし、現実にはそれは有限であり、製造設計上、把握しておきたい技術である。特に、本稿で例とした広告用大型製品、等では重要であると思っている。

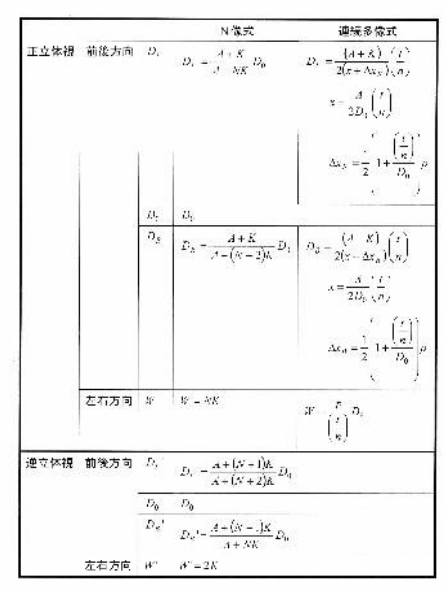
これからもステレオ印刷技術に関し、お役に立ちそうな資料が出た時は発表していきたい。

< 参考文献 >

- (1) 山田千彦、「レンチキュラー板立体ディスプレイにおける立体視領域」、「3 D映像」Vol.7,No.2,pp47 (1993-03)
- (2) 羽倉弘之、山田千彦、大口孝之・編集「裸眼 3 Dグラフィクス」 朝倉書店 pp.42·76 2012·08 刊

< 付録 >

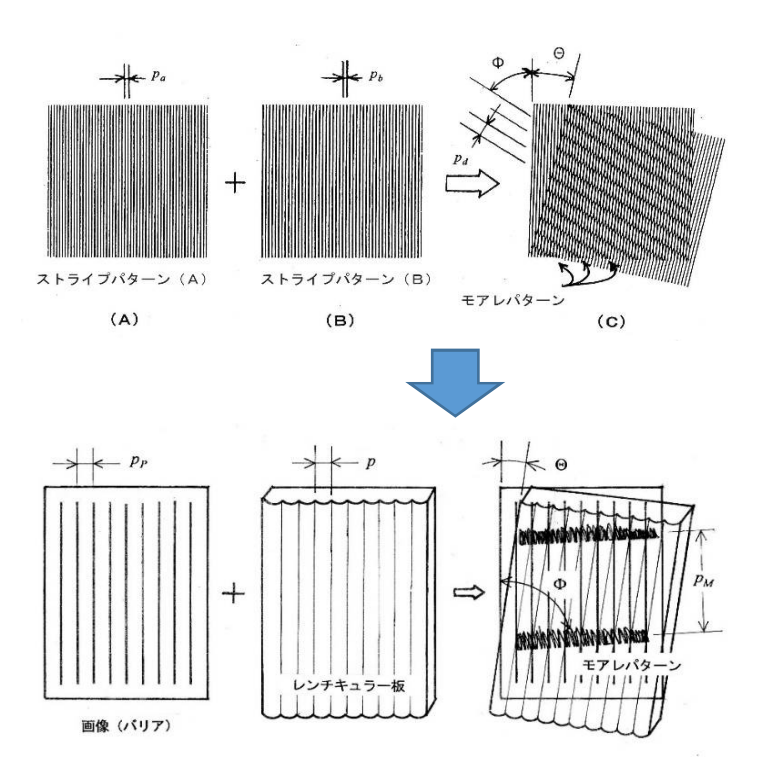
参考文献に述べている立体視領域は、観察者とステレオ印刷との間で立体視しているときの「幾何学的関係」を図示し、その図から立体視領域を求める計算式を作成している。



- p: レンチキュラーのピッチ。ml $D_g:$ 立体視できる長近距離[mn] S: 国係数 $D_g:$ 立体視できる最適距離[mn]
- ヌ:'国像の横幅寸法[mi] ぶ:眼間距離[mi]
- B_{x} :立体視できる最適距離[m] $B_{x}^{-1}, B_{x}^{-1}, W$:近立体機領域
- < 添付資料 >

EXCEL シート 「モアレの大きさから計算」 立体視領域をモアレの観点から計算する

Ⅰ-1 モアレの大きさ・立体視領域



● 置き換え

 $p_a =$ 画像のピッチ =画 p_P $p_b = L 板の画像上に投影さ れたピッチ <math>=$ $L p_P$ $p_d = p_M$

$$p_{M} = \frac{1}{\left| \frac{1}{\boxtimes p_{P}} - \frac{1}{\sqcup p_{P}} \right|}$$

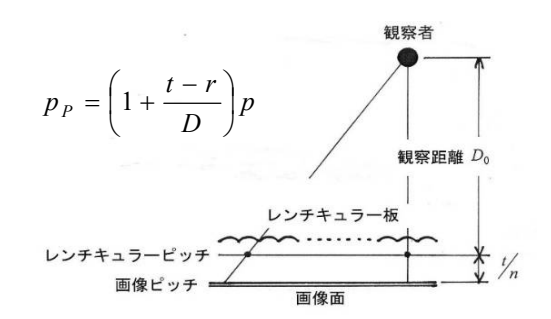
● モアレの基本式

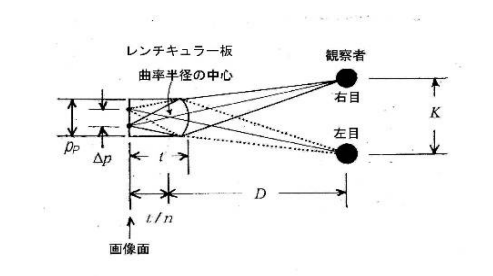
$$p_{d} = \frac{p_{a}p_{b}}{\sqrt{p_{a}^{2} + p_{b}^{2} - 2p_{a}p_{b}\cos\Theta}}$$

$$\tan \Phi = \frac{p_b \sin \Theta}{p_b \cos \Theta - p_a}$$

$$\Theta$$
=0, $p_a \neq p_b$ の時 $p_d = \frac{1}{\left|\frac{1}{p_a} - \frac{1}{p_b}\right|}$

● L板





● 対称商品

B×2判 横 大型 TPN 20 Lpi

L形状

画像の幅	Α	=	2,000
合成画像数	Ν	=	28
最適距離	D ₀	=	2,500
眼間距離	Κ	=	65

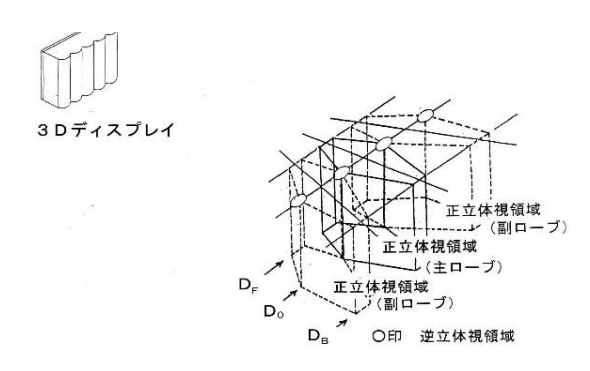
画
$$p p =$$
 1.2682
 $\Delta p =$ 0.0442
 $N =$ 28.7

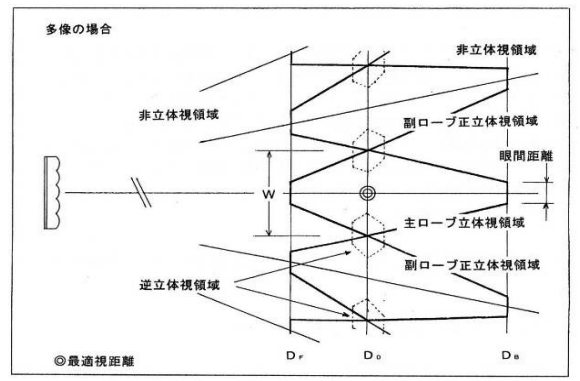
□ //>//	
r =	1.00
p =	1.2673
t =	2.70
材料	MS
屈折率 n=	1.53
t - r =	1.70

計算値

● モアレの大きさを計算

	D	Lpp	画pp	Рм
	250	1.2759	1.2682	209
	500	1.2716	1.2682	468
	1,000	1.2695	1.2682	1,245
	1,500	1.2687	1.2682	2,801
	2,000	1.2684	1.2682	7,466
$D_0 =$	2,500	1.2682	1.2682	無限大
	5,000	1.2677	1.2682	3,731
	10,000	1.2675	1.2682	2,487
	20,000	1.2674	1.2682	2,132
	40,000	1.2674	1.2682	1,989
	80,000	1.2673	1.2682	1,925

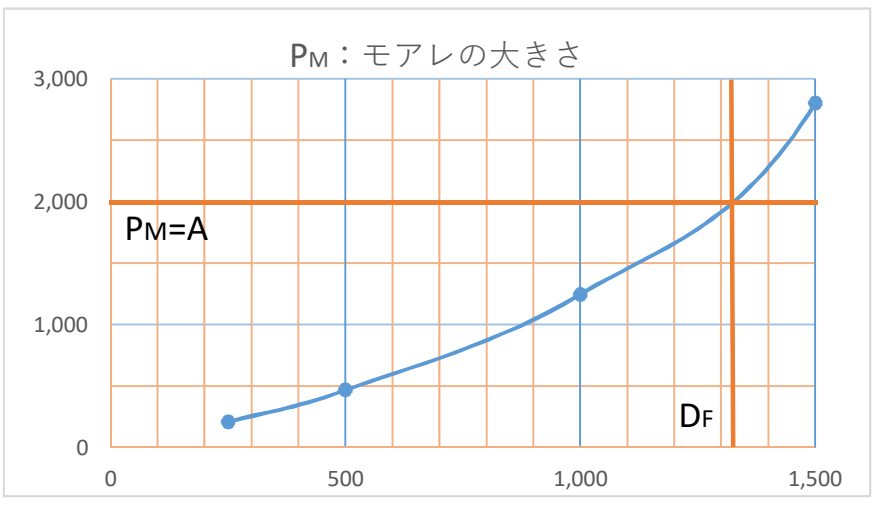


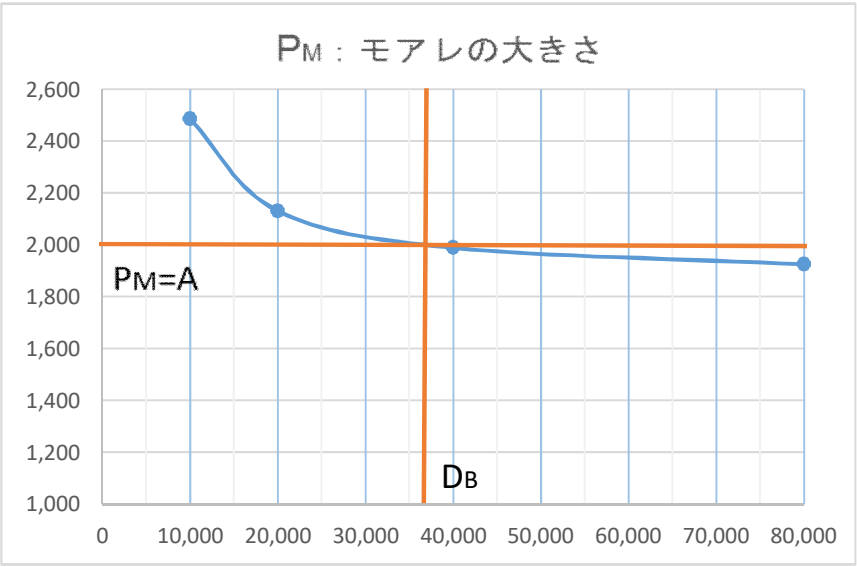


● グラフ

	D	Рм
	250	209
	500	468
	1,000	1,245
	1,500	2,801
	2,000	7,466
$D_0 =$	2,500	100,000
	5,000	3,731
	10,000	2,487
	20,000	2,132
	40,000	1,989
	80,000	1,925

D_F: 立体視できる最近距離 D_B: 立体視できる最遠距離





l-2 立体視できる「最近距離」、および「最遠距離」を計算す<mark>る</mark>

 p =
 1.2673 mm

 画 p p =
 1.2682 mm

 画像の幅 A =
 2,000 mm

 t-r=
 1.70 mm

$$Lp_P = \frac{1}{\frac{1}{P_M} \pm \frac{1}{|\overrightarrow{\text{mip}}_P|}}$$

$$P_M = A$$

Lpp+-p=0.000058

Lpp--p= 0.001666

$$D = \frac{p}{L p_P - p} (t - r)$$

Ⅱ モアレ± I 本から計算する

A= 2,000 画pp= 1.2682 t-r= 1.70 C p= 1.2673 -L

$$Q_{\underline{m}} = \frac{A}{\underline{m} p_P}$$

$$Q_{L} = \frac{A}{L p_{P}}$$

$$Q_{\underline{m}} - Q_{L} = \pm 1$$

$$Lp_P = \frac{1}{Q_{\text{min}} - 1}$$

転送

● 参考資料 EXCEL 「立体視領域」

<参考資料>

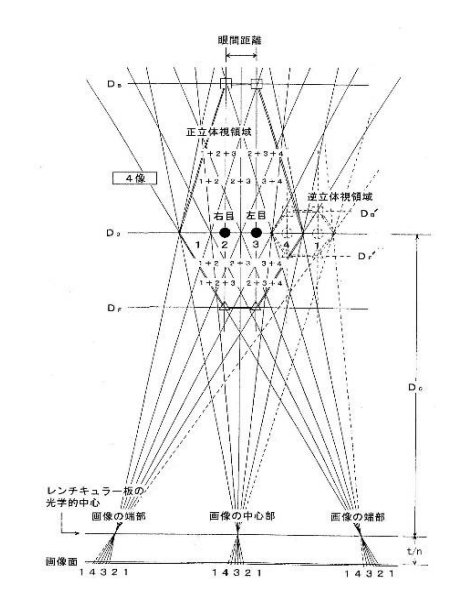
幾何学的関係から計算

·			N 1 1/7. —12	`± /± 47 /#`
			N像式	連続多像式
正立体視	前後方向	D_F	$D_F = \frac{A+K}{A+NK}D_0$	$D_F = \frac{\left(A + K\right)}{2\left(x + \Delta x_F\right)} \left(\frac{t}{n}\right)$
				$x = \frac{A}{2D_0} \left(\frac{t}{n}\right)$
				$\Delta x_F = \frac{1}{2} \left(1 + \frac{\left(\frac{t}{n}\right)}{D_0} \right) p$
		D_0	D_0	
		D_B	$D_B = \frac{A+K}{A-(N-2)K}D_0$	$D_B = \frac{\left(A - K\right)}{2\left(x - \Delta x_B\right)} \left(\frac{t}{n}\right)$
				$x = \frac{A}{2D_0} \left(\frac{t}{n} \right)$
				$\Delta x_B = \frac{1}{2} \left(1 + \frac{\left(\frac{t}{n}\right)}{D_0} \right) p$
	左右方向	W	W = NK	$W = \frac{p}{\left(\frac{t}{n}\right)}D_0$
逆立体視	前後方向	D_F '	$D_F' = \frac{A + (N+1)K}{A + (N+2)K} D_0$	
		D_0	D_0	
		D_B '	$D_B' = \frac{A + (N+1)K}{A + NK} D_0$	
	左右方向	W'	W' = 2K	

p ; レンチキュラーのピッチ [mm] D_F : 立体視できる最近距離 [mm]

V: 画像数 $D_0:$ 立体視できる最適距離[mm]

A: 画像の横幅寸法[mm] $D_B:$ 立体視できる最遠距離[mm] K: 眼間距離[mm] $D_F',D_B',W':$ 逆立体視領域



観察位置	左目で見ている画像	右目で見ている画像
De	L	R
像 Do	L	R
Dr	L	R
Ds	4 3 2	3 2 1
像 Do	2 xs 3 xa 4	1 gu 2 su 3
D,	2 3 4	1 2 3